

# MULTIPARTITNÍ KVANTOVÁ PROVÁZANOST

Ladislav Mišta

Katedra optiky, Univerzita Palackého, Česká Republika

FPF Slezské Univerzity, Opava, 24. 4. 2014

Název projektu: Mezinárodní centrum pro informaci a neurčitost  
Registrační číslo: CZ.1.07/2.3.00/20.0060



INVESTICE DO ROZVOJE VZDĚLÁVÁNÍ

# Kvantový bit (qubit)

Dimenze stavového prostoru  $\mathcal{H}$  je 2, báze  $|0\rangle$ ,  $|1\rangle$ .

Možný stav:  $\alpha|0\rangle + \beta|1\rangle$ .

Fyzikální realizace:

- spin  $\frac{1}{2}$ :  $|\uparrow\rangle$ ,  $|\downarrow\rangle$
- dvouhladinový atom:  $|g\rangle$ ,  $|e\rangle$
- polarizace fotonu:  $|H\rangle$ ,  $|V\rangle$

## Dva qubity

Qubity  $A$  a  $B$ , stavový prostor  $\mathcal{H}_A \otimes \mathcal{H}_B$ .

Kvantové korelace:

$$\begin{aligned} |\psi_{-}\rangle_{AB} &= \frac{1}{\sqrt{2}}(|0\rangle_A|1\rangle_B - |1\rangle_A|0\rangle_B) \quad (\text{singletní stav}) \\ &= \frac{1}{\sqrt{2}}(|R\rangle_A|L\rangle_B - |L\rangle_A|R\rangle_B) \end{aligned}$$

$$|R, L\rangle = (|0\rangle \pm i|1\rangle) / \sqrt{2}.$$

Klasické korelace:

$$\begin{aligned} \hat{\rho}_{AB} &= \frac{1}{2}|0\rangle_A\langle 0| \otimes |1\rangle_B\langle 1| + \frac{1}{2}|1\rangle_A\langle 1| \otimes |0\rangle_B\langle 0| \\ &= \frac{1}{2}(|R\rangle_A\langle R| \otimes |L\rangle_B\langle L| + |L\rangle_A\langle L| \otimes |R\rangle_B\langle R| \\ &\quad + |R\rangle_A\langle R| \otimes |R\rangle_B\langle R| + |L\rangle_A\langle L| \otimes |L\rangle_B\langle L| + \dots) \end{aligned}$$

# Bipartitní kvantová provázanost

Čisté provázané (entanglované) stavy:

$$|\psi\rangle_{AB} \neq |\phi\rangle_A |\chi\rangle_B, \quad |\phi\rangle_A, |\chi\rangle_B \in \mathcal{H}_{A,B}.$$

Např. singletní stav  $|\psi\rangle_{AB}$ .

**Kritérium:**

Je-li  $\rho_A = \text{Tr}_B (|\psi\rangle_{AB} \langle\psi|)$  smíšený  $\Rightarrow |\psi\rangle_{AB}$  je provázaný.

Smíšené provázané stavy:

- Separabilní stavy:  $\hat{\rho}_{AB}^{\text{sep}} = \sum_i p_i \hat{\rho}_A^{(i)} \otimes \hat{\rho}_B^{(i)}$ ,  $\hat{\rho}_{A,B}^{(i)} \in \mathcal{H}_{A,B}$ .

Lze vytvořit lokálními operacemi a klasickou komunikací (LOCC).

- Provázané stavy:  $\hat{\rho}_{AB} \neq \hat{\rho}_{AB}^{\text{sep}}$ .

Kritérium provázanosti (PPT kritérium):

$$\hat{\rho}_{AB} \text{ je separabilní} \Rightarrow \hat{\rho}_{AB}^{TA} \geq 0,$$

$$\left(\hat{\rho}^{TA}\right)_{m\mu,n\nu} = (\hat{\rho})_{n\mu,m\nu} \quad (\text{částečná transpozice (PT)}).$$

(A. Peres, PRL 77, 1413 (1996), M. Horodecki et al., PLA 223, 1 (1996).)

# Tripartitní kvantová provázanost

Tři kvantové systémy  $A$ ,  $B$  a  $C$ .

- Nový typ nelokality:  $|GHZ\rangle = \frac{|000\rangle - |111\rangle}{\sqrt{2}}$  (GHZ 89')

$$\begin{aligned}\sigma_x^{(A)} \sigma_y^{(B)} \sigma_y^{(C)} |GHZ\rangle &= \sigma_y^{(A)} \sigma_x^{(B)} \sigma_y^{(C)} |GHZ\rangle = \sigma_y^{(A)} \sigma_y^{(B)} \sigma_x^{(C)} |GHZ\rangle = |GHZ\rangle \\ \sigma_x^{(A)} \sigma_x^{(B)} \sigma_x^{(C)} |GHZ\rangle &= -|GHZ\rangle.\end{aligned}$$

EPR hypotéza: pro elementy reality  $m$  určující výsledky měření spinu platí

$$\begin{aligned}m_x^{(A)} m_y^{(B)} m_y^{(C)} &= m_y^{(A)} m_x^{(B)} m_y^{(C)} = m_y^{(A)} m_y^{(B)} m_x^{(C)} = 1, \\ m_x^{(A)} m_x^{(B)} m_x^{(C)} &= -1 \\ \Rightarrow (m_x^{(A)})^2 (m_y^{(A)})^2 (m_x^{(B)})^2 (m_y^{(B)})^2 (m_x^{(C)})^2 (m_y^{(C)})^2 &= -1 \quad \text{což je spor.}\end{aligned}$$

- Více tříd provázanosti:

1. Úplně provázané stavy provázanost  $A - (BC)$ ,  $B - (AC)$ ,  $C - (AB)$ ,  $|GHZ\rangle$ .

2. 1-qubitově biseparabilní: provázanost  $A - (BC)$  a  $B - (AC)$ ,  $|\psi_{-}\rangle_{AB}|0\rangle_C$ .

3. 2-qubitově biseparabilní: provázanost  $A - (BC)$ .

4. 3-qubitově biseparabilní: separabilní všechna dělení, ale

$$\hat{\rho}_{ABC} \neq \sum_i p_i \hat{\rho}_A^{(i)} \otimes \hat{\rho}_B^{(i)} \otimes \hat{\rho}_C^{(i)}. \quad (*)$$

5. Úplně separabilní stavy lze napsat jako  $(*)$ ,  $|0\rangle_A|0\rangle_B|0\rangle_C$ .

(Dür et al PRA 99')

- Neekvivalentní třídy separability pro stochastické LOCC

$|\psi\rangle$  a  $|\phi\rangle$  jsou ekvivalentní  $\Leftrightarrow |\psi\rangle = A \otimes B \otimes C|\phi\rangle$ ,  $A, B, C$  reg.

$$|GHZ\rangle, |W\rangle = \frac{1}{\sqrt{2}}(|100\rangle + |010\rangle + |001\rangle).$$

(Dür et al PRA 00')

- Nové provázané stavy s pozitivní částečnou transpozicí

PPT nestačí pro separabilitu. Existují PPT provázané stavy.

**Nerozšířitelná součinnová báze:**

$$\begin{aligned} \{|\psi_1\rangle = |0, 1, +\rangle, |\psi_2\rangle = |1, +, 0\rangle, |\psi_3\rangle = |+, 0, 1\rangle, |\psi_4\rangle = |-, -, -\rangle\} \\ |\pm\rangle = (|0\rangle \pm |1\rangle)/\sqrt{2}. \end{aligned}$$

$$\rho = \frac{1}{4} \left( I - \sum_{j=1}^4 |\psi_j\rangle \langle \psi_j| \right) \quad \text{PPT provázaný stav (třída 4)}.$$

(Dür et al PRA 00', Bennett et al PRL 99')



## Aplikace:

- Konstrukce kvantových hradel (Gottesman et al Nature 99')
- Teleklonování (Murao et al PRA 99')
- Asistovaná teleportace (Karlsson et al PRA 98')

$C\langle +|GHZ\rangle_{ABC} \propto \frac{|00\rangle_{AB} + |11\rangle_{AB}}{\sqrt{2}}$  lze použít k teleportaci,

$$\sigma_z^{(B)} C\langle -|GHZ\rangle_{ABC} \propto \frac{|00\rangle_{AB} - \sigma_z^{(B)}|11\rangle_{AB}}{\sqrt{2}} = \frac{|00\rangle_{AB} + |11\rangle_{AB}}{\sqrt{2}}.$$

- Kvantové sdílení tajemství (Hillery et al PRA 99', Cleve et al PRL 99').

Kvantový trit, báze  $\{|0\rangle, |1\rangle, |2\rangle\}$ .

$$\begin{aligned} \alpha|0\rangle + \beta|1\rangle + \gamma|2\rangle &\rightarrow \alpha(|000\rangle + |111\rangle + |222\rangle) \\ &+ \beta(|012\rangle + |120\rangle + |201\rangle) \\ &+ \gamma(|021\rangle + |102\rangle + |210\rangle) \end{aligned}$$

Každý qutrit je úplně náhodný. Tajemství lze zrekonstruovat z libovolné dvojice. Korekce ztráty jednoho qutritu.

- [Sdílení kvantové provázanosti \(Choi et al PRA 13'\)](#).

Qutrit  $B$  stavu  $\frac{|00\rangle_{AB} + |11\rangle + |22\rangle_{AB}}{\sqrt{3}}$  je tajemstvím rozděleným na tři části. Každá část individuálně nesdílí provázanost s  $A$ . Každá dvojice umožňuje dokonale zrekonstruovat provázanost s  $A$ .

- [Distribuce provázanosti separabilními stavy \(Cubitt et al PRL 03'\)](#).

# Spojité proměnné (CV)

Systémy s  $\dim \mathcal{H} = \infty$ .

Např.: lineární harmonický oscilátor,  $\hat{H} = (\hat{x}^2 + \hat{p}^2) / 2$ ,

$\hat{x}, \hat{p}$ ,  $[\hat{x}, \hat{p}] = i$  kanonické proměnné (spojité spektrum).

Fyz. realizace: mód elektromagnetického pole,

$\hat{x}, \hat{p}$  – kvadraturní operátory.

# Wignerova funkce

N módů, fázový prostor  $x_A, p_A, \dots, x_N, p_N$ ;

$$\hat{\rho} \rightarrow W(\mathbf{r}) = \frac{1}{(2\pi)^N} \int e^{i\mathbf{x}'^T \cdot \mathbf{p}} \left\langle \mathbf{x} - \frac{\mathbf{x}'}{2} \left| \hat{\rho} \left| \mathbf{x} + \frac{\mathbf{x}'}{2} \right\rangle d^N \mathbf{x}' \right.$$

$\mathbf{r} = (x_A, p_A, \dots, x_N, p_N)^T$ .

Gaussovské stavy:

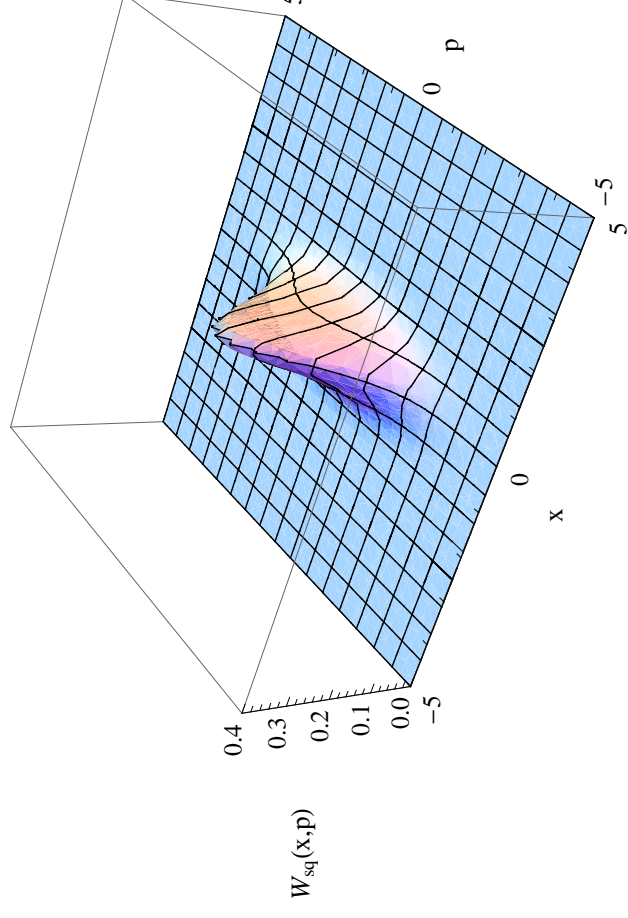
$$W(\mathbf{r}) = \frac{e^{-\mathbf{r}^T \boldsymbol{\gamma}^{-1} \mathbf{r}}}{\pi^N \sqrt{\det \boldsymbol{\gamma}}},$$

$\boldsymbol{\gamma}$  – kovarianční matice (KM),

$$\gamma_{ij} = \langle \hat{r}_i \hat{r}_j + \hat{r}_j \hat{r}_i \rangle, \quad \hat{\mathbf{r}} = (\hat{x}_A, \hat{p}_A, \dots, \hat{x}_N, \hat{p}_N)^T.$$

$\boldsymbol{\gamma}$  je fyzikální KM  $\Leftrightarrow \boldsymbol{\gamma} + i\boldsymbol{\Omega}_N \geq 0$ ,  $\boldsymbol{\Omega}_N = \bigoplus_{i=1}^N \begin{pmatrix} 0 & 1 \\ -1 & 0 \end{pmatrix}$ .

**Příklad:** stlačený stav  $|r\rangle = e^{\frac{r}{2}[\hat{a}^2 - (\hat{a}^\dagger)^2]}|0\rangle$ ,  $r$  – stlačovací parametr.



$$\langle (\Delta \hat{x})^2 \rangle = \frac{e^{-2r}}{2}, \quad \langle (\Delta \hat{p})^2 \rangle = \frac{e^{2r}}{2}.$$

Fyzikální aproximace  $|x=0\rangle$  ( $|p=0\rangle$  for  $-r$ ),  $\hat{x}|x\rangle = x|x\rangle$ ,  
 $\hat{p}|p\rangle = p|p\rangle$ .

## Kritéria gaussovské provázanosti:

1 × 1-módová kritéria:

Součinnové kritérium

$$\langle (g\hat{x}_A + x_B)^2 \rangle \langle (g\hat{p}_A - p_B)^2 \rangle < \frac{(g^2 + 1)^2}{4} \quad (\text{Duan et al PRL 00'}),$$

nebo

$A$  je provázané s  $B$  pro  $\gamma_{AB} = \begin{pmatrix} A & C \\ C^T & B \end{pmatrix}$ , jestliže

$$\mu = \sqrt{\frac{\det A + \det B - 2\det C - \sqrt{(\det A + \det B - 2\det C)^2 - 4\det \gamma_{AB}}}{2}} < 1$$

(Vidal et al PRA 02').

1 × 2-módová kritéria:

PT vzhledem k módu  $j$ :  $\hat{p}_j \rightarrow -\hat{p}_j$

$$\gamma \rightarrow \gamma^{(T_j)} = \Lambda_j \gamma \Lambda_j, \quad \Lambda_j = \sigma_z^{(j)} \oplus I \oplus I.$$

Mód  $j$  je separabilní ve stavu s KM  $\gamma \Leftrightarrow \gamma^{(T_j)} + i\Omega_3 \geq 0$ ,

(R. F. Werner et al PRL 86')

nebo

Mód  $j$  je separabilní ve stavu s KM  $\gamma \Leftrightarrow \Sigma_j = I_3 - I_2 + I_1 - 1 < 0$ ,

$$\text{kde } \det(\Omega \gamma^{(T_j)} - qI) = q^6 + I_1 q^4 + I_2 q^2 + I_3$$

(Serafini PRL 06').

# Dvumódová gaussovská provázanost

Korespondence:  $|0\rangle, |1\rangle \leftrightarrow \{|x\rangle\}_{x \in \mathbb{R}}$

$$|\pm\rangle = \frac{1}{\sqrt{2}}(|0\rangle \pm |1\rangle) \leftrightarrow \{|p\rangle\}_{p \in \mathbb{R}}$$

Provazovací operace *CNOT*  $\leftrightarrow$  dělič  $\left( \hat{B}(1/\sqrt{2}), \frac{\hat{x}_A \pm \hat{x}_B}{\sqrt{2}}, \frac{\hat{p}_A \pm \hat{p}_B}{\sqrt{2}} \right)$

$$\hat{U}_{CNOT}|+\rangle|0\rangle = \frac{(|00\rangle + |11\rangle)}{\sqrt{2}} \leftrightarrow \hat{B}(1/\sqrt{2})|p=0\rangle|x=0\rangle \propto |EPR\rangle.$$

EPR stav módů A a B:  $|EPR\rangle_{AB} = \int dx |x, x\rangle_{AB} = \int dp |p, -p\rangle_{AB}$ .

Fyzikální aproximace:  $|x=0\rangle \rightarrow |r\rangle, |p=0\rangle \rightarrow | -r\rangle$

Dvumódové stlačené vakuum (TMSV)

$$|TMSV\rangle_{AB} = \hat{B}_{AB}(1/\sqrt{2})|r\rangle_A | -r\rangle_B \rightarrow |EPR\rangle_{AB} \text{ for } r \rightarrow \infty.$$



# Třímódová gaussovská provázanost

1. Úplně provázaný stav: CV GHZ

$$\hat{B}_{BC}(1/\sqrt{2})\hat{B}_{AB}(1/\sqrt{3})|p=0\rangle_A|x=0\rangle_B|x=0\rangle_C \propto \int |x, x, x\rangle dx$$

Fyzikální aproximace: nekonečné  $r \rightarrow$  konečným  $r$ .

(van Loock et al PRL 00')

2. 1-módově biseparabilní stav:  $|0\rangle_A|TMSV\rangle_{BC}$

nebo  $\gamma_{\alpha\beta} = \gamma_{AB}^{(TMSV)} \oplus I_C + \alpha p_1 p_1^T + \beta p_2 p_2^T$ ,  $\alpha = \beta = 0.1$ ,  
 $p_1 = (0, 1, 0, 1, 1, 2)^T$ ,  $p_2 = (1, 0, -1, 0, 0, 1)^T$ .

3. 2-módově biseparabilní stav:  $\gamma_{\frac{11}{22}}$  (pouze smíšený).

#### 4. 3-módově biseparabilní stav:

$\gamma_{11}$  nebo  $\gamma_{GHZ} + \delta I$ ,  $\delta = \sqrt{\cosh^2(2r) + \frac{4}{3}\sqrt{2}\sinh(2r)} - \cosh(2r)$   
(pouze smíšený).

5. Úplně separabilní stav:  $|0\rangle_A|0\rangle_B|0\rangle_C$  nebo  $\gamma_{GHZ} + \delta I$ ,  $\delta \geq 1$   
(Giedke et al PRA 01').

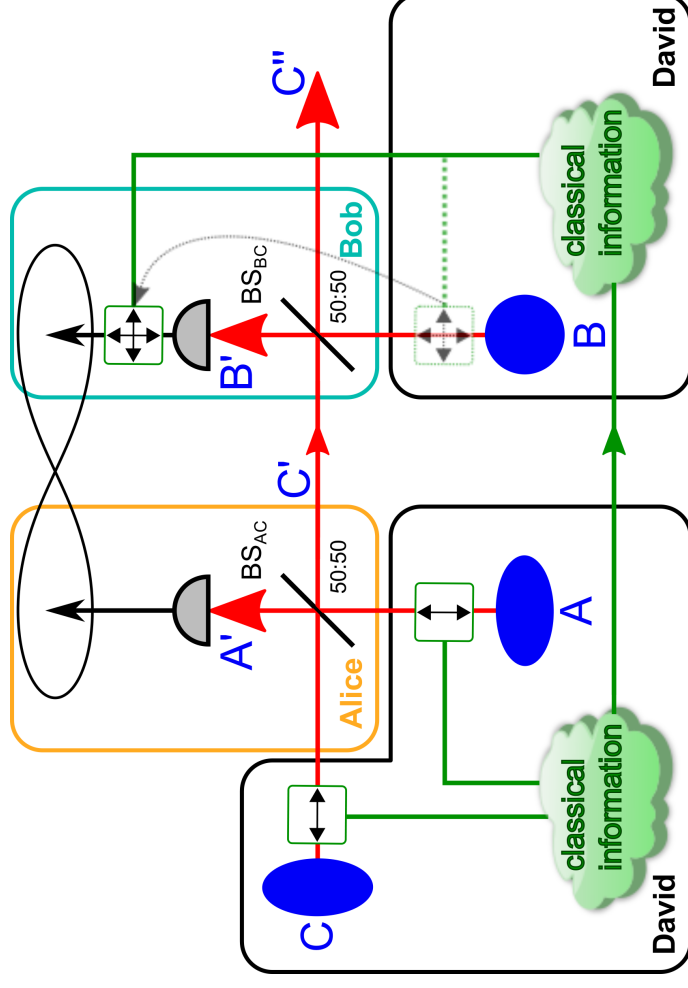
Většina aplikací využívá úplně provázané stavy, např.

- CV asistovaná teleportace (van Loock et al PRL 00').
- Sdílení CV kvantového tajemství (Tyc et al PRA 02').

Aplikace smíšených částečně provázaných stavů:

- Distribuce gaussovské provázanosti separabilními stavy  
(Mišta et al PRA 09').

# Experimentální distribuce provázanosti



**Krok 1:** Úplně separabilní stav (třída 5).

$$\gamma_{A,C} = \text{diag}(e^{\pm 2r}, e^{\mp 2r}), \gamma_B = I.$$

$$\hat{p}_A \rightarrow \hat{p}_A - \frac{u}{\sqrt{2}}, \hat{x}_C \rightarrow \hat{x}_C + \frac{v}{\sqrt{2}}, \hat{x}_B \rightarrow \hat{x}_B + v, \hat{p}_B \rightarrow \hat{p}_B + u, \langle u^2 \rangle = e^{2r} - 1.$$

**Krok 2:**  $BS_{AC} \rightarrow B - (AC)$  a  $C - (AB)$  separabilita (třída 3).

**Krok 3:**  $BS_{BC} \rightarrow$  provázanost  $A$  a  $B$  (třída 2).

## Krok 2:

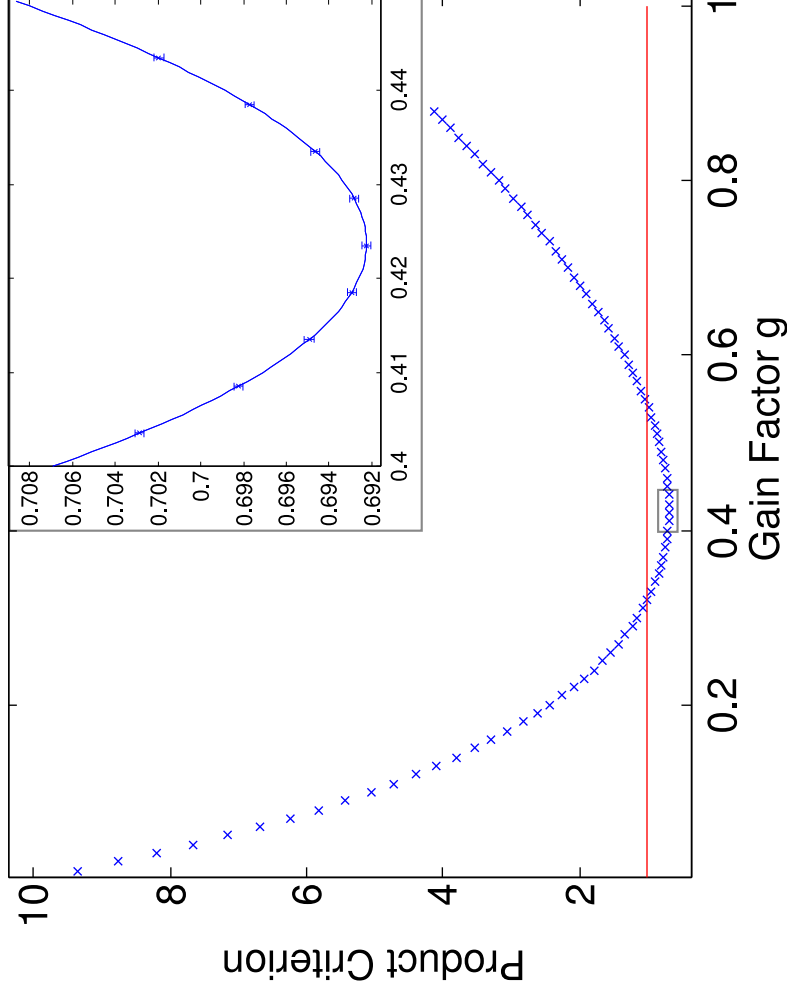
$$\gamma = \begin{pmatrix} 20.898 & 1.102 & -7.796 & -1.679 & 5.173 & -8.585 \\ 1.102 & 25.305 & 1.00 & 14.635 & -5.035 & -6.756 \\ -7.796 & 1.00 & 20.681 & 0.80 & 4.95 & -8.612 \\ -1.679 & 14.635 & 0.80 & 24.651 & 4.488 & 6.043 \\ 5.173 & -5.035 & 4.951 & 4.488 & 11.866 & -0.448 \\ -8.585 & -6.756 & -8.612 & 6.043 & -0.448 & 18.876 \end{pmatrix}.$$

$$\text{Mineig} [\gamma^{(T_A)} + i\Omega_3] = -0.14, A \text{ je provázané s } (BC),$$

$$\text{Mineig} [\gamma^{(T_B)} + i\Omega_3] = 0.35, B \text{ je separabilní od } (AC),$$

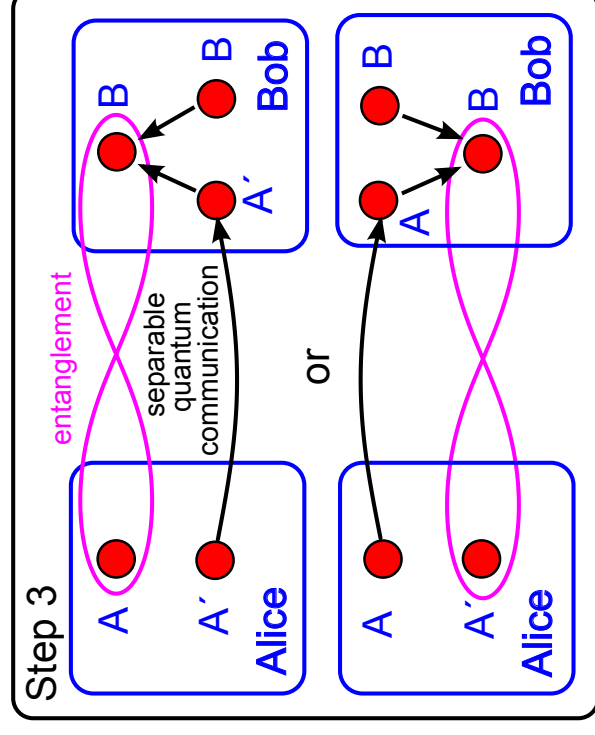
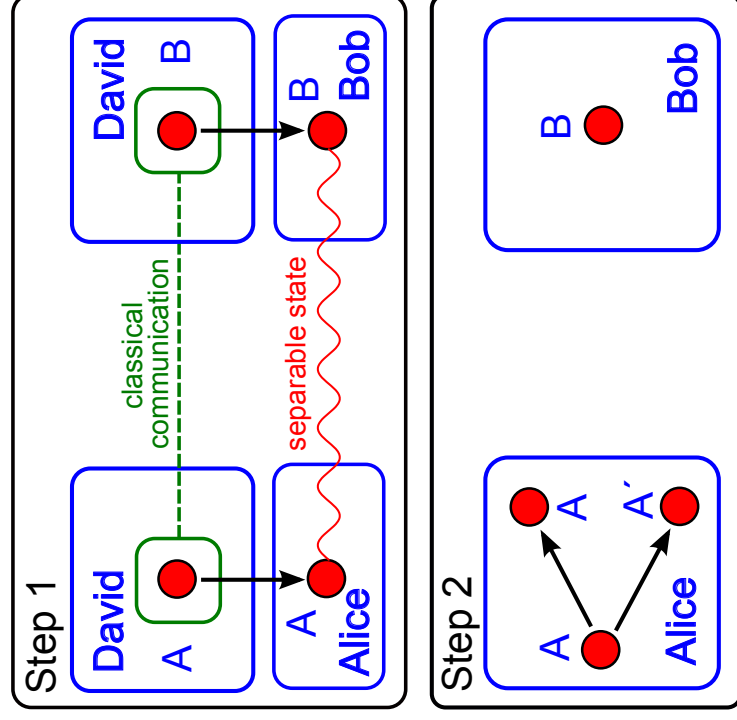
$$\text{Mineig} [\gamma^{(T_C)} + i\Omega_3] = 0.53, C \text{ je separabilní od } (AB).$$

### Krok 3:



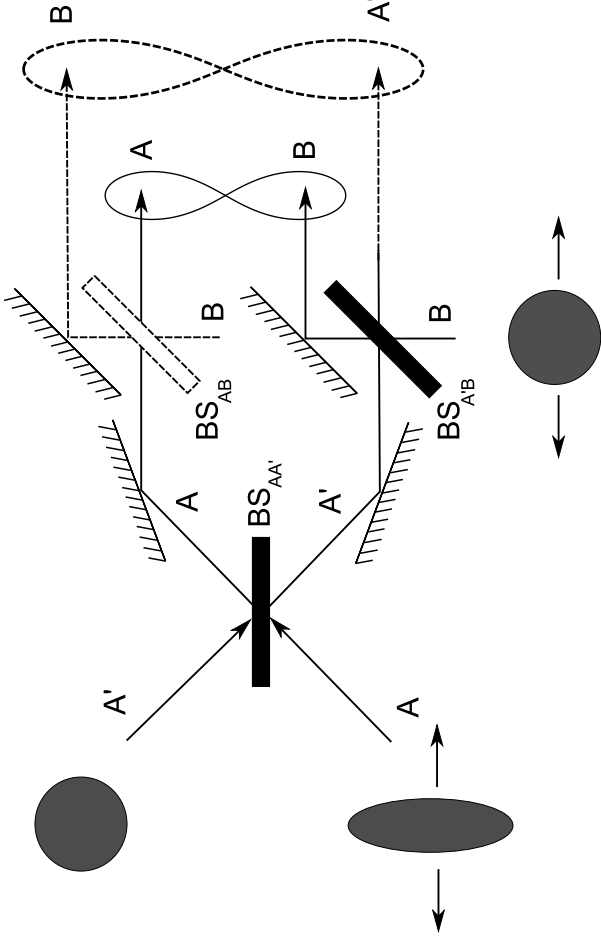
(Ch. Peuntinger, V. Chille, L. Mišta, Jr., N. Korolkova, M. Förtsch, J. Körger, C. Marquardt, and G. Leuchs, PRL **111**, 230506 (2013).)

# Sdílení provázanosti se separabilními stavy



(Mišta PRA 13').

# Schéma se stlačeným světlem



**Krok 1:**  $\gamma_A = \text{diag}(e^{-2(r-\varepsilon)}, e^{2r})$ ,  $\gamma_{A'} = \gamma_B = I$  (vakua),  
 $r$  – stlačovací parametr,  $\varepsilon \geq 0$ .

Gaussovská posunutí:

$$x_A \rightarrow x_A + \bar{x}, \quad x_B \rightarrow x_B - \bar{x}, \quad \langle \bar{x}^2 \rangle = \frac{1 - e^{-2r}}{2}.$$

**Úplně separabilní stav (třída 5).**

**Krok 2:** Dělič  $BS_{AA'}$  provazuje  $A - (A'B)$  a  $A' - (AB)$  a nechává dělení  $B - (AA')$  separabilní.

**1-módově biseparabilní stav (třída 2).** Žádná doumódová provázanost.

**Krok 3:** Dělič  $BS_{A'B}$  vytváří provázanost  $A - B$

nebo

dělič  $BS_{AB}$  vytváří provázanost  $A' - B$ .

$$\text{pro } r > r_e = \frac{1}{2} \ln \left[ \frac{11e^{2\varepsilon} + 8\sqrt{2} - 13 + \sqrt{(11e^{2\varepsilon} + 8\sqrt{2} - 13)^2 + 4e^{2\varepsilon}(8\sqrt{2} - 1)}}{2(8\sqrt{2} - 1)} \right].$$

**Úplně provázaný stav (třída 1).**



# Gaussovská lokalizovatelná provázanost

Gaussovské měření na  $B \rightarrow$  podmíněný stav  $\tilde{\rho}_{AA'}$ .

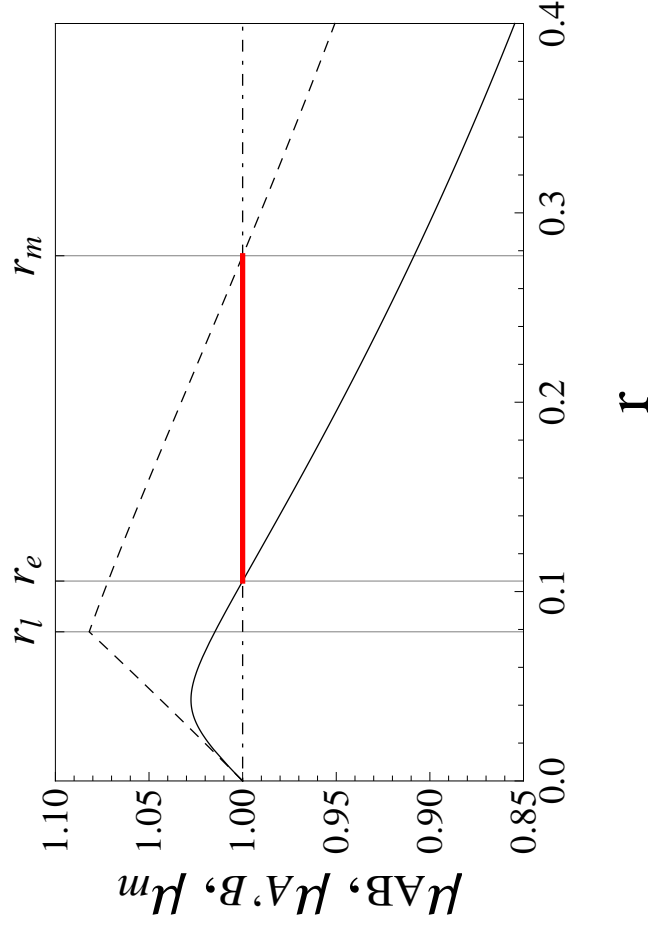
Pro jaké měření je  $\tilde{\rho}_{AA'}$  maximálně provázaný? (Fiurášek et al PRA 07', Mišta et al PRA 08')

Maximalizujeme logaritmicou negativitu  $\max[0, -\log_2(\mu)]$ , kde  $\mu$  je nejmenší symplektická vlastní hodnota  $\tilde{\rho}_{AA'}^{TA}$ .

Pro stav z kroku 2 je optimální měření  $\{|x\rangle\}_{x \in \mathbb{R}}$  a provázanost lze lokalizovat ještě

$$r > r_m = \frac{1}{2} \ln \left[ e^{2\varepsilon} + \sqrt{e^{2\varepsilon} (e^{2\varepsilon} - 1)} \right].$$

# Lokalizovatelnost provázanosti v SP

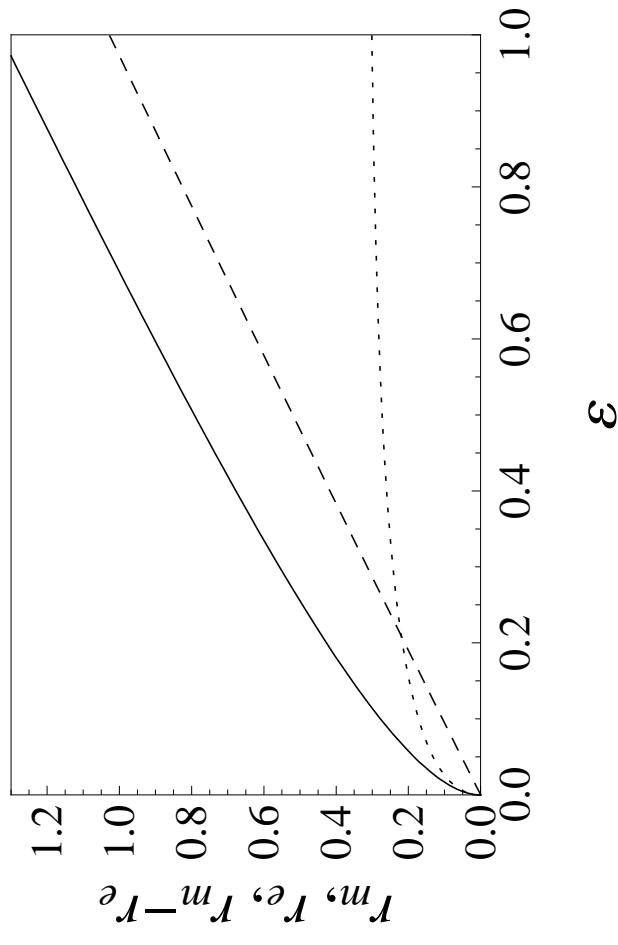


**Souvislá křivka** – nejmenší symplektická vlastní hodnota  $\mu_{AB} = \mu_{A'B}$  stavů  $\rho_{AB}^{T_B}$  a  $\rho_{A'B}^{T_B}$  v kroku 3.

**Čárkovaná čára** – symplektická vlastní hodnota  $\mu_m$  odpovídající maximální lokalizovatelné provázanosti.

$\varepsilon = 0.1$ , interval nelokalizovatelnosti  $r_m \geq r > r_e$ .

## Interval nelokalizovateľnosti



$r_m$  – souvislá křivka,  $r_e$  – čárkovaná křivka,  
( $r_m - r_e$ ) – tečkovaná křivka.

## Závěr

- Nové aplikace částečné provázanosti tří módů.
- Přepínání mezi různými třídami separability operacemi na bipartitních podsystémech.
  1.  $5 \rightarrow 2 \rightarrow 1$  pro sdílení provázanosti se separabilními stavy.
  2.  $5 \rightarrow 3 \rightarrow 2$  pro distribuci provázanosti separabilními stavy.
- Stav z kroku 2 SP protokolu je kandidátem na nový typ tzv. nedestilovatelné provázanosti.
- Role neklasických korelací v separabilních stavech.